

# 国外活性炭

中国林业出版社

TQ430

# 国 外 活 性 炭

中国林业科学研究院林产化学工业研究所  
第七研究室 编

中国林业出版社

## 国外活性炭

中国林业科学研究院林产化学工业研究所

第七研究室 编

---

中国林业出版社出版（北京朝内大街130号）

新华书店北京发行所发行 遵化县印刷厂印刷

---

787×1092毫米 32开本 9.5印张 200千字

1984年5月第1版 1984年5月遵化第1次印刷

印数 1—6000 册

统一书号 15046·1107 定价 1.00 元

## 前　　言

本书收集了近十年来世界先进工业国家有关活性炭生产的文章27篇，比较系统地介绍了国外活性炭生产、应用情况、科技水平和发展趋势。

全书共分五个部分：（一）吸附理论；（二）生产动态及制造工艺；（三）用途及应用技术；（四）再生技术；（五）活性炭标准及检验方法。可供林产化学工业、环境保护、医药卫生、食品工业、宇宙航行、海洋作业以及商业、外贸等部门参考。

全书翻译过程中，得到南京林产工业学院、浙江省林业科学研究所等单位的大力支持，在此谨表谢忱。

由于我们业务知识有限，错误和不妥之处在所难免，望读者批评指正。

编　　者

1981年7月

## 目 录

### 吸 附 理 论

#### 活性炭在气相和液相中的吸附特性曲线

- ..... 安部郁夫等 (1)  
未酸洗活性炭和酸洗活性炭对氧的化学吸附 ..... (17)  
在活性炭上吸附和在表面活性剂分子团中增溶溶解现象的类似性 ..... 安部郁夫等 (21)

### 生 产 动 态 及 制 造 工 艺

- 近年来国外活性炭制造动态 ..... 钱慧娟 刘汉超编译 (26)  
日本活性炭生产的工艺流程 ..... 北川等 (37)  
树皮为原料制造球形活性炭 (第一报) ..... 横井良雄 (50)  
一种新活性炭的制造方法 ..... Kuwada Akio (64)  
以木炭为原料制造颗粒活性炭 ..... (69)  
以软质含碳物质生产硬粒活性炭的新方法 ..... (75)  
微波加热法制造活性炭 ..... (76)  
用流化床活化活性炭 ..... (85)  
除氯化锌法和水蒸汽法以外的几种活性炭的活化方法 ..... 钱慧娟编译 (93)

## 用途及应用技术

- 近年来国外活性炭的应用动态 ..... 钱慧娟编译 (99)  
活性炭在防治公害方面的某些应用 ..... (103)  
活性炭在电池和分析方面的应用 ..... (116)  
用活性炭净化植物油的一种新方法 ..... (121)  
活性炭在其他方面的应用 ..... (124)  
活性炭吸附系统的基本设计技术 ..... (135)

## 再生技术

- 颗粒活性炭再生的几种新炉型 ..... 项缙农编译 (142)  
废粉炭热再生的几种工业方法 ..... 项缙农编译 (154)  
废粉炭气流输送式再生法 ..... 项缙农编译 (163)  
废粉炭湿式催化氧化再生 ..... 项缙农编译 (175)

## 活性炭标准及检验方法

- 美国活性炭标准 ..... (187)  
粉状活性炭的分析方法 ..... (216)  
颗粒活性炭的分析方法 ..... (228)  
德国标准(DIN)和捷克斯洛伐克标准(ČSN)所规定的活性炭化学分析法 Milan Smišek ..... (253)  
净化自来水用粉末活性炭的检验方法 ..... (269)

# 吸 附 理 论

## 活性炭在气相和液相中的吸附特性曲线

安部郁夫 林胜巳 北川睦夫 浦畠俊博

### 前 言

活性炭的气相吸附特性曲线，可以根据白兰尼（Polaranyi）的吸附势理论求得。按照这一理论，吸附空间的容积  $W_G$ （毫升/克）由下列方程式给出：

$$W_G = aV \quad (1)$$

$$W_G = f(\epsilon) \quad (2)$$

$$\epsilon = RT \ln \frac{P_0}{P} \quad (3)$$

式中：  
a——克分子吸附量（克分子/克）

V——凝聚蒸汽的克分子比容（毫升/克分子）

$\epsilon$ ——吸附势（卡/克分子）

R——气体常数

T——吸附温度（K）

$P_0$ ——饱和蒸汽压

P——吸附平衡压

(2)式是吸附势的分布函数，曲线  $W = f(\epsilon)$  与 温 度 无  
关，对于某一具体的活性炭——吸附质体系，是固定不变的，  
称为吸附特性曲线。杜比宁（Dubinin）等人发现，同一活

活性炭对不同吸附质的吸附特性曲线有相似性，在同一W的吸附势之间有如下关系：

$$\varepsilon = \beta \varepsilon_1 \quad (4)$$

式中： $\varepsilon_1$ ——W中基准物质的吸附势

$\varepsilon$ ——任意吸附质在W中的吸附势

$\beta$ ——亲和系数，不同吸附质取不同的数值

杜比宁和雷杜赛克维奇 (Radushkevich) 把有效半径由18—20 Å 以下的微孔构成的活性炭 (按杜比宁分类为第一结构类型的活性炭) 的(2)式吸附势的分布函数表示为下式这样的高斯型分布 (即正态分布——译者注)：

$$W_G = W_G^0 \exp[-K(\frac{\varepsilon}{\beta})^2] \quad (5)$$

式中： $W_G^0$ ——吸附空间的总容积，对于第一结构类型的活性炭，大致上等于18—20 Å 以下的微孔的总容积

K——与吸附质无关，仅由活性炭结构决定的常数  
由孔径相当大的孔构成的活性炭 (按杜比宁分类是第二结构类型的活性炭)，遵循下式：

$$W_G = W'_G \exp[-m(\frac{\varepsilon}{\beta})] \quad (6)$$

式中： $W'_G$ ——吸附空间总体积，即微孔加上按杜比宁分类有效半径20 Å 以上的过渡孔的总体积，但正确的孔径范围尚不清楚

m——仅由吸附剂决定的分布函数的参数

把(1)、(3)式代入(6)式，就变换成以下的弗里德里胥 (Freundlich) 式：

$$a = \frac{W'_G}{V} \exp \left[ -\frac{mRT}{\beta} \ln \frac{P_0}{P} \right]$$

$$= \frac{W'_G}{V} \left( \frac{P_0}{P} \right)^{\frac{mRT/\beta}{1/n}} = KP \quad (7)$$

式中:  $K = \left( \frac{W'_G}{V} \right) \left( \frac{1}{P} \right)^{\frac{mRT/\beta}{1/n}}$ ,  $1/n = \frac{mRT}{\beta}$

杜比宁等人注意到在相对压力高的情况下, 有的活性炭不遵循(5)式。为解释这种现象, 提出了活性炭中存在以下式表示的两类不同的微孔群的设想。

$$W_G = W^*_{G1} \exp \left[ -K_1 \left( \frac{e}{\beta} \right)^2 \right] +$$

$$+ W^*_{G2} \exp \left[ -K_2 \left( \frac{e}{\beta} \right)^2 \right] \quad (8)$$

杜比宁和阿思坦克霍夫 (Astakhov) 提出了如下适用于各种吸附剂的通式:

$$W_G = W^*_{G} \exp \left[ - \left( \frac{e}{E_G} \right)^{n_G} \right] \quad (9)$$

式中:  $n_G$  —— 2 — 6 之间的整数

$E_G$  —— 由吸附特性能量体系决定

这样, 活性炭气相吸附特性曲线, 既可以用(5)式(简称D—R式)及(8)式来表示, 也可以用(9)式(简称D—A式)来表示。

活性炭液相吸附特性曲线, 基本上没有进行过研究。马尼斯 (Manes) 等在液相中应用白兰尼的吸附势理论, 研究

了气相吸附和液相吸附的相互关系。根据他的研究，气相吸附时，气体在活性炭的表面液化；而在液相吸附时，溶质从溶液中析出。液相吸附势由下式给出：

$$\varepsilon = RT \ln \frac{C_s}{C} \quad (10)$$

式中： $C_s$ 、 $C$ ——分别是溶质的饱和溶解度和吸附平衡浓度。

因为在液相吸附中，在溶质被吸附的同时，有相同容积的溶剂脱附，溶液中溶质的吸附势 $\varepsilon_{s1}$ ，可由下式求得：

$$RT \ln \frac{C_s}{C} \cong \varepsilon_{s1} = \varepsilon_s - \varepsilon_1 \frac{V_s}{V_1} \quad (11)$$

式中： $\varepsilon_s$ 、 $\varepsilon_1$ ——分别是把溶质、溶剂当作气体时的吸附势

$V_s$ 、 $V_1$ ——分别是溶质、溶剂在液体状态的克分子容积，即把液相吸附转化为气相吸附来表示。但马尼斯并没有研究关于 $\varepsilon_{s1}$ 和 $W$ 的分布函数。

本文求出了不同孔分布的各种类型活性炭在小溶液中吸附时的 $\varepsilon$ 和 $W$ 的分布函数，并将它与同一种活性炭在气相吸附时的分布函数相比较。

## 实 验

### 1. 试料：

选择孔分布差异大的4种市售活性炭A、B、C、D。用喀拉史道—英克里(Cranston-Inkley)法求出它们的孔分布曲线，见图1所示。

各种活性炭的原料和制造法：A炭是木质氯化锌活化粉状炭；B炭和C炭是煤质水蒸汽活化粒状炭；D炭是水蒸汽

活化破碎椰子壳炭。粒状炭和破碎炭粉碎到200—350目，用蒸馏水充分洗净，干燥后使用。

吸附质，气相是用最标准的试剂苯，液相是用符合下面条件的苯甲醚：（1）为使活性炭表面氧化物的影响降到最低限度，不能带有官能基团；（2）为了采用定量分析准确度高的分光光度法，应该是能吸收紫外线的化合物，即以芳香族化合物为宜；（3）对水的溶解性适度，即单位重量活性炭的吸附量也适度，苯甲醚25℃在水中的溶解度为1.04%（重量）；（4）分子结构尽可能简单。

苯和苯甲醚的纯度，用气相色谱法测定结果，达99%以上。

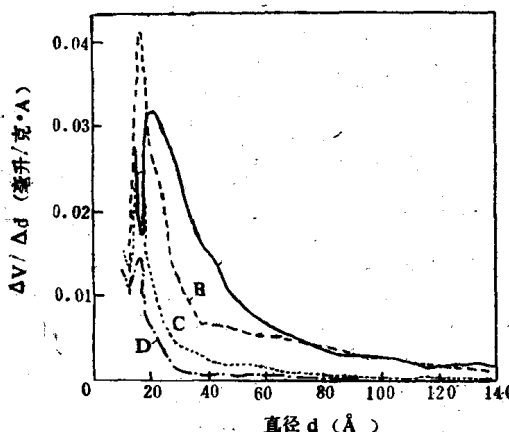


图1 活性炭试样的孔分布曲线

## 2. 气相吸附实验：

吸附量用卡亨（Cahn）公司制造的 RG—H型电动天平，作重量法测定。吸附平衡压用 MKS 公司制的巴兰脱隆

( Baratron ) 压力表测定。重量变化和压力变化都用连续记录器纪录。活性炭试样在110℃干燥3小时以上，用真空泵减压至 $10^{-5}$ 毫米汞柱进行脱气处理后，吸附系统中保持 $30 \pm 0.1^\circ\text{C}$ ，导入一定量苯蒸汽，待重量和压力稳定后再导入一定量的苯蒸汽，并测定相对压力渐次增高情况下的吸附量。

苯蒸汽相对压力为1情况下的吸附量，按平田等人的方法测定，即把液态苯和活性炭，在没有直接接触的条件下，加入密闭容器中，容器在 $20 \pm 0.05^\circ\text{C}$ 的恒温水槽中约浸一星期，从活性炭的重量变化，求得对苯饱和蒸汽的吸附量。

### 3. 液相吸附实验：

苯甲醚的吸附平衡试验，是在密塞的三角瓶中，保持 $25 \pm 0.1^\circ\text{C}$ ，接触14小时以上。然后过滤分离出活性炭时，为防止过滤时苯甲醚的蒸发，采用注射器型加压过滤装置。滤纸用孔径0.45微米的耐溶剂滤膜，考虑到有苯甲醚沾在滤纸上，弃去初滤液10毫升。虽然因蒸发和滤纸滞留引起的误差可以忽略不计，但还是用空白试验作了修正。滤液中苯甲醚，用日立牌200—20型分光光度计，通过测定269毫微米波长的光密度来定量。

## 结 果 和 讨 论

### 1. 气相吸附：

图2表示4种活性炭对苯蒸汽的吸附等温线。

活性炭对气体的吸附等温线，多数情况下是用(5)式整理。(5)式还可以转化为以下的直线形式：

$$\lg W_G = \lg W^{\circ} G - K \left( \frac{e}{\beta} \right)^2 \quad (12)$$

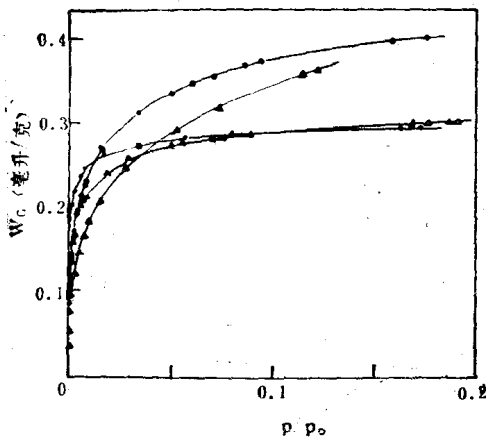


图2 活性炭在30°C时对苯蒸汽的吸附等温线

▲: A炭	○: B炭
△: C炭	●: D炭

$\lg W_G$  和  $\varepsilon^2$  的关系见图 3 所示。

应用(12)式，活性炭C为一直线，但其他活性炭并不适用，从而考虑采用(8)式或(9)式(即D—A式)。(8)式中活性炭的吸附特性用  $W^{\circ}G_1$ 、 $W^{\circ}G_2$ 、 $K_1$ 、 $K_2$  4个常数表示；D—A式中活性炭吸附特性用  $W^{\circ}G$ 、 $E_G$ 、 $n_G$  3个常数表示。决定采用常数个数少的D—A式。然而，由于  $n_G$  是2—6的整数，与(12)式一样，除C炭外，其他活性炭用D—A式也不能正确地表达出吸附特性，因而有人提出了既用  $n_G$  值的整数，又用它们之间的小数，正确地描述若干吸附系统的方法。图2的吸附等温线就用具备这种  $n_G$  值的D—A式来整理。各常数通过非线性的最小二乘法(即非线性——译者注)求得，列于表1。 $n_G$  值随着活性炭的不同，在1.47—

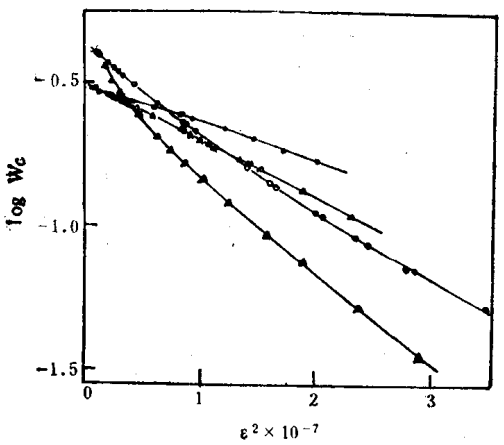


图3 活性炭对苯吸附的D—R图

▲: A炭	○: B炭
△: C炭	●: D炭

2.29波动。从相关系数很高(平均-0.99987)可知,用表1  $n_G$ 值的D—A式可以正确地表达这些炭的吸附等温线。D—A式中,当 $n_G = 2$ 时,变得和D—R式[即(5)式——译者注]的形式相同。D—A式中的 $W^{\circ}_G$ 与D—R式中的 $W^{\circ}_G$ 同是表示半径18—20 Å以下微孔的总容积。但 $n_G$ 取2以外的数值时,D—A式中的 $W^{\circ}_G$ 就表示另一孔径的孔容积。

例如 $n_G = 3$ 时,表示炭分子筛中接近分子直径的非常微小的孔的总容积; $n_G$ 小于2时表示孔径大于18—20 Å的孔的总容积,但这些孔的正确孔径范围尚不清楚。不过可以推断,所有场合大体上都属于微孔的范围。根据杜比宁的说法,因为这些孔的孔径接近于分子直径,发生吸附不是由于毛细管凝聚,而是由于分子充填引起的。

表1 活性炭气相吸附特性值

活性炭	(9) 式的常数值			相关系数 (-r)	
	$W_G^0$ (毫升/克)	$E_G$ (卡/克分子)	$n_G$		
A	0.488	2810	1.47		0.99977
B	0.461	3630	1.64		0.99992
C	0.317	4670	2.00		0.99997
D	0.301	5700	2.29		0.99981

活性炭	从蒸汽吸附极限 $p/p_0 \rightarrow 1$ 时计算的孔容积 $W_G^*$ (毫升/克)			$W_G^* - W_G^0$ (毫升/克)	$\frac{W_G^0}{W_G^*} \times 100\%$
	氮	苯	苯甲醚		
A	1.42	1.46	1.44	0.952	33.9
B	1.10	1.15	1.13	0.669	40.8
C	0.586	0.568	0.579	0.262	54.7
D	0.475	0.479	0.477	0.176	63.1

从氮气和苯蒸汽在相对压力为1时的吸附量算出的孔容积  $W_G^*$ ，列于表1。可见氮气和苯的数值基本相同。该  $W_G^*$  值大于所有活性炭的  $W_G^0$  值，其原因可以认为，除了微孔因分子充填引起吸附外，在过渡孔中还发生毛细管凝聚引起新的吸附。按杜比宁的分类，过渡孔的有效半径是20—500—1000 Å，但能产生毛细管凝聚的最大孔径尚不明确。

因而  $W_G^*$  是表示微孔和会产生毛细管凝聚的过渡孔的容积之和， $W_G^* - W_G^0$  表示会发生毛细管凝聚的过渡孔的容积。  
4种活性炭的微孔容积  $W_G^0$  没有多大差别，但  $W_G^* - W_G^0$  的容积却大不相同，依次为A炭>B炭>C炭>D炭。此外， $W_G^0/W_G^*$  表示发生吸附的孔的总容积中微孔所占的比例。此值越大的活性炭，平均孔径越小。

表1用百分率表示这一比例。若将此值作为表示活性炭孔分布特性的常数时，估计与D—R式的常数K会有一定的相关。将D—A式与D—R式相比较可以发现，当 $n_G$ =2时，常数 $E_G$ 相当于 $\sqrt{K}/\beta$ ，这是吸附质不变场合与K有关的数值。从而可以预计， $E_G$ 和 $W_G^o/W_G^{*o}$ 值也有一定程度的相关。从前述可知，D—A式的常数 $n_G$ 是随孔径变化而改变的，所以，也可以预测，它和 $W_G^o/W_G^{*o}$ 之间也有相关关系。图4表示 $W_G^o/W_G^{*o}$ 和 $n_G$ 、 $E_G$ 之间的关系。

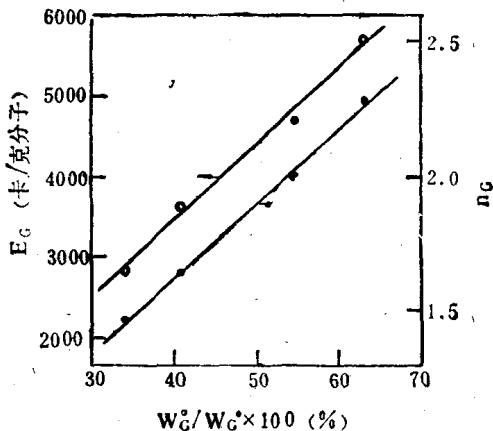


图4  $W_G^o/W_G^{*o}$ 与 $n_G$ 、 $E_G$ 之间的关系

在实验值的范围内， $W_G^o/W_G^{*o}$ 和 $n_G$ 、 $E_G$ 之间大致成为直线关系，可见常数K、 $n_G$ 、 $E_G$ 与微孔和会产生毛细管凝聚的过渡孔之间的比例 $W_G^o/W_G^{*o}$ ，这一较单纯的数值有着高度相关。首先假定，图4所示的直线关系，适用于所有活性炭。在苯蒸汽相对压力低的范围内，根据吸附实验求得 $W_G^o$ 、 $n_G$ ，就可以推算出能发生吸附的总孔容积 $W_G^{*o}$ 。另

外，从图 5 可见， $n_G$  和  $E_G$  之间也大致成为直线关系，这是因为  $n_G$  和  $E_G$  两者都具有所谓“孔分布特性”这一相同的物理意义。

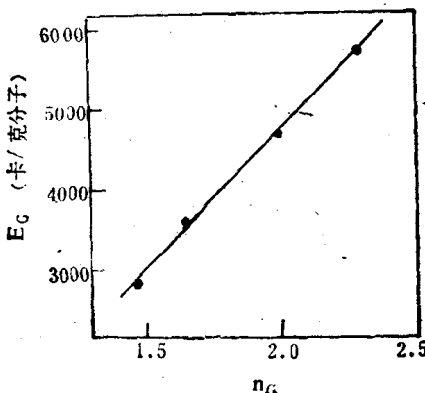


图 5  $n_G$  和  $E_G$  之间的关系

## 2. 液相吸附：

图 6 表示 4 种活性炭在苯甲醚溶液中的吸附等温线。这些吸附等温线，根据液相吸附势理论整理，来研究  $\epsilon$  和  $W$  的分布函数。液相吸附势用马尼斯的(11)式表示，经变换可得下式：

$$\frac{\epsilon_{S1}}{V_s} = \frac{\epsilon_s}{V_s} - \frac{\epsilon_1}{V_1} \quad (13)$$

杜比宁等人发现，气相吸附式(4)的亲和系数  $\beta$ ，很好地和各种气体的液相克分子容积相对应。某一活性炭对各种气体的吸附，用下式表示：